

$$g(u) = \exp\left[\frac{\lambda}{r}\{Ci(u) - \ln(u) - \gamma\} + i\frac{\lambda}{r}Si(u)\right] \quad (13)$$

$(u > 0)$

ここに、 $Si(u)$ 、 $Ci(u)$ はそれぞれ積分正弦関数、積分余弦関数であって、 $Si(u)$ は(12)式で、 $Ci(u)$ は以下の(14)式で定義される。

$$Ci(u) = -\int_u^{\infty} \frac{\cos \tau}{\tau} d\tau \quad (14)$$

(10)式の被積分関数 $(\cos \tau - 1)/\tau$ は奇関数、 $\sin \tau/\tau$ は偶関数であるから、(13)式をもとに、 u の正負に関係なく成り立つ次の式が導かれる。

$$g(u) = \frac{\exp\left[\frac{\lambda}{r}\{Ci(|u|) - \gamma\}\right]}{|u|^{\frac{\lambda}{r}}} \exp\left[i\frac{\lambda}{r}Si(u)\right] \quad (15)$$

(3) 確率密度関数の積分表示

リスク事象に対する、現在価値に換算された損害額の総和 x の確率密度関数 $f(x)$ は、(15)式にフーリエ反転公式を適用し、以下のように導かれる。

$$\begin{aligned} f(x) &= \frac{1}{2\pi} \int_{-\infty}^{\infty} e^{-iux} g(u) du \\ &= \frac{1}{\pi} \int_0^{\infty} \frac{\exp\left[\frac{\lambda}{r}\{Ci(u) - \gamma\}\right]}{u^{\frac{\lambda}{r}}} \cos\left\{\frac{\lambda}{r}Si(u) - xu\right\} du \end{aligned} \quad (16)$$

(4) 確率密度関数の数値解

a) $u = 0$ の近傍における被積分関数の級数表示

(16)式の積分を数値的に行おうとすると、被積分関数の分母が $u^{\lambda/r}$ であるため、 $u = 0$ の近傍における被積分関数の挙動を解析的に明らかにする必要がある。被積分関数の一部を構成する関数 $Q(u)$ を以下のように定義する。

$$Q(u) = \frac{\exp\left[\frac{\lambda}{r}\{Ci(u) - \gamma\}\right]}{u^{\frac{\lambda}{r}}} \quad (17)$$

$Ci(u)$ は

$$Ci(u) = \gamma + \ln u + \sum_{n=1}^{\infty} \frac{(-1)^n u^{2n}}{2n(2n)!} \quad (18)$$

と級数展開できるから⁸⁾、(18)式を(17)式に代入すると、

$$\begin{aligned} Q(u) &= \frac{\exp\left[\frac{\lambda}{r}\left\{\ln u + \sum_{n=1}^{\infty} \frac{(-1)^n u^{2n}}{2n(2n)!}\right\}\right]}{u^{\frac{\lambda}{r}}} \\ &= \exp\left[\frac{\lambda}{r} \sum_{n=1}^{\infty} \frac{(-1)^n u^{2n}}{2n(2n)!}\right] \end{aligned} \quad (19)$$

(18)式に対応する $Si(u)$ の級数展開表示は、次のとおりである^{8,9)}。

$$Si(u) = \sum_{n=0}^{\infty} \frac{(-1)^n u^{2n+1}}{(2n+1)(2n+1)!} \quad (20)$$

b) 数値積分の方法

(16)式を数値的に積分して、 $f(x)$ の形状、すなわち確率密度曲線を求める。数値積分は、積分範囲を2つの区間に分け、それぞれにシンプソン公式¹⁰⁾を適用して、以下の示すような刻み幅 Δu で行った。

$$\text{区間 a) } 0 \leq u \leq 25 \quad \Delta u = 0.01$$

$$\text{区間 b) } 25 \leq u \leq 1825 \quad \Delta u = 0.03$$

区間 a) では、(19)式、(20)式を(16)式に代入して被積分関数を計算した。総和の対象とした級数項は、(19)式については初項から第60項、(20)式については初項から第40項である。また、区間 b) における $Si(u)$ 、 $Ci(u)$ の計算には、有理式と三角関数を用いた近似式^{8,11)}を利用した。

数値積分は、Microsoft社のExcel VBAを用い、倍精度で計算した。計算精度の評価の参考とするため、数値積分で得られた $f(x)$ を x について数値的に積分し、確率密度曲線と x 軸で囲まれる部分の面積を求めたところ、理論値1からの誤差は、 $\lambda/r = 1/3$ では1.6%、図-1のその他の λ/r では0.7%未満であった。(16)式の被積分関数は、 u の増大に伴ってゼロに収束する。 λ/r の値が小さい場合は、この収束速度が小さいことから、特に $x = 0$ の近傍で計算結果が不安定となる傾向にあり、結果的に誤差が大きくなると考えられる。

c) 数値解とその特徴

上記の方法で(16)式の積分を数値的に実施して得られた確率密度曲線を図-1に示す。

$\lambda/r < 1$ の場合、確率密度曲線は、指数分布のよう

な右下がりの形状となるが、曲線の途中で小さな瘤（こぶ）を持つ特徴を有する。λ/r の値が小さいほど、急峻な傾きとなる。λ/r=1では、0<x<1の範囲でプラトーを持つλ/r>1ではこのプラトーがくずれ、λ/r が大きいほど正規分布に類似の形状となる。x=0 の近傍の様子は、数値積分では正確に捉えることできないが、実務上十分な精度でxの確率密度が把握できたといえる。

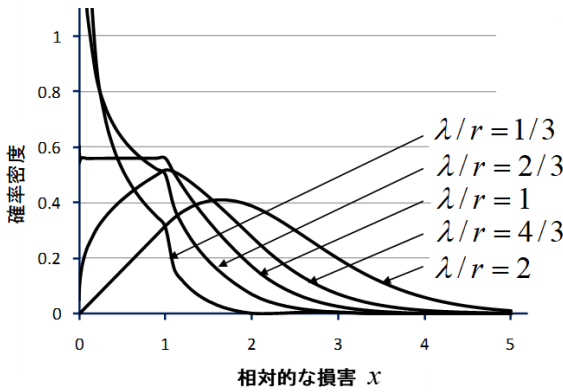


図-1 相対的な損害 x の確率密度

3. 複数種類のリスク事象の場合

(1) 確率密度関数の積分表示

対象とするN種類のリスク事象 $F_k (k=1\sim N)$ に係る損害額を I_k 、平均発生頻度を λ_k とおくと、損害額の現在価値の総和 x_k の特性関数 $g_k(u)$ は、(15)式の導出と同様の方法によって、以下のように求められる。

$$g_k(u) = \frac{\exp\left[\frac{\lambda_k}{r}\{Ci(I_k|u) - \gamma\}\right]}{(I_k|u)^{\frac{\lambda_k}{r}}} \exp\left[i\frac{\lambda_k}{r}Si(I_k u)\right] \quad (21)$$

いま求めたいのは、

$$\bar{x} = x_1 + x_2 + \dots + x_N \quad (22)$$

で定義される \bar{x} の分布である。想定災害が互いに独立に発生すると仮定すると、 \bar{x} の特性関数 $\bar{g}(u)$ は、次のように表される。

$$\begin{aligned} \bar{g}(u) &= \prod_{k=1}^N g_k(u) \\ &= \frac{\exp\left[\frac{1}{r}\sum_{k=1}^N \lambda_k \{Ci(I_k|u) - \gamma\}\right]}{\prod_{k=1}^N (I_k|u)^{\frac{\lambda_k}{r}}} \exp\left[\frac{i}{r}\sum_{k=1}^N \lambda_k Si(I_k u)\right] \end{aligned} \quad (23)$$

また、(16)式の導出と同様の方法により、 \bar{x} の確率密度関数 $\bar{f}(\bar{x})$ は、以下のように求められる。

$$\begin{aligned} \bar{f}(\bar{x}) &= \frac{1}{\pi} \int_0^\infty \frac{\exp\left[\frac{1}{r}\sum_{k=1}^N \lambda_k \{Ci(I_k u) - \gamma\}\right]}{\prod_{k=1}^N (I_k u)^{\frac{\lambda_k}{r}}} \cos\left\{\frac{1}{r}\sum_{k=1}^N \lambda_k Si(I_k u) - \bar{x}u\right\} du \end{aligned} \quad (24)$$

(2) キュミュラントと主な統計量

(9)式の導出と同様の方法により、

$$\log g_k(u) = \frac{\lambda_k}{r} \sum_{n=1}^\infty \frac{I_k^n (iu)^n}{n \cdot n!} \quad (25)$$

と級数展開表示されるため、 $\log \bar{g}(u)$ は

$$\log \bar{g}(u) = \sum_{k=1}^N \frac{\lambda_k}{r} \sum_{n=1}^\infty \frac{I_k^n (iu)^n}{n \cdot n!} \quad (26)$$

と表される。したがって、 \bar{x} の n 次のキュミュラント $\bar{\kappa}_n$ は、次のように導かれる。

$$\bar{\kappa}_n = \frac{1}{n} \sum_{k=1}^N \frac{\lambda_k}{r} I_k^n \quad (n=1,2,3 \dots) \quad (27)$$

キュミュラントと統計量との関係¹²⁾から、主な統計量が以下のように導かれる。

$$\text{平均: } \bar{\mu} = \kappa_1 = \sum_{k=1}^N \frac{\lambda_k}{r} I_k \quad (28)$$

$$\text{分散: } \bar{\sigma}^2 = \kappa_2 = \frac{1}{2} \sum_{k=1}^N \frac{\lambda_k}{r} I_k^2 \quad (29)$$

$$\text{歪度: } \bar{\beta}_3 = \frac{\kappa_3}{\bar{\sigma}^3} = \frac{\sqrt{8}}{3} \cdot \frac{1}{\sqrt{\Lambda_S/r}} \quad (30)$$

$$\text{尖度: } \bar{\beta}_4 = \frac{\kappa_4}{\bar{\sigma}^4} = \frac{1}{\Lambda_K/r} \quad (31)$$

ここに

$$\Lambda_S = \frac{\left(\sum_{k=1}^N \lambda_k I_k^2\right)^3}{\left(\sum_{k=1}^N \lambda_k I_k^3\right)^2}, \quad \Lambda_K = \frac{\left(\sum_{k=1}^N \lambda_k I_k^2\right)^2}{\sum_{k=1}^N \lambda_k I_k^4} \quad (32)$$

(28)式~(32)式において $N=1$ とおくと、(16)式で表される $f(x)$ についての主な統計量が得られる。

(3) 損失額の確率密度の数値解

図-2 は、ある市街地の浸水に対する脆弱性を、4 種類

の想定水害 ($F_1 \sim F_4$) で代表させて表したものである。

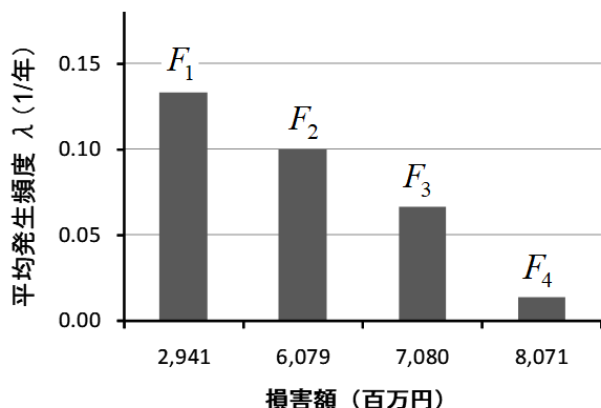


図-2 想定水害の平均発生頻度と損害額との関係

4つの想定水害の平均発生頻度 λ_k , 損害額 I_k を(24)式に代入する。

r については、国土交通省の指針¹³⁾に準拠して社会的割引率 α を4%とし、

$$r = \log 1.04 = 0.03922 \dots$$

を代入する。

数値積分の条件は、図-1の確率密度曲線を求めた場合と基本的に同様であるが、以下に示すように積分範囲は長くとしている。また、 \bar{x} と I_k は百億円単位の数値で与えた。

$$\text{区間 a) } 0 \leq u \leq 25 \quad \Delta u = 0.01$$

$$\text{区間 b) } 25 \leq u \leq 3025 \quad \Delta u = 0.05$$

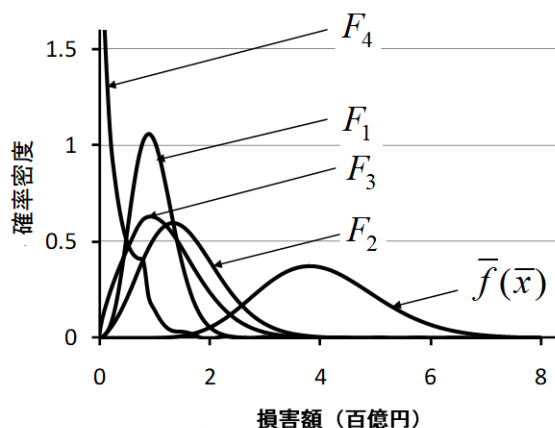


図-3 想定水害における損害額の確率密度

数値積分の結果を図-3に示す。 $\bar{f}(\bar{x})$ のほか、4つの想定水害に係る確率密度もあわせて示した。図-3では、想定水害 F_4 のみが途中で瘤をもつ右下がりの曲線であり、他は正規分布に類似した形状である。これは、

F_4 のみが $\lambda/r (= 0.334) < 1$ で、他の曲線は $\lambda/r > 1.7$ であるためである。

(4) VaRの値

図-3の計算結果から、信頼水準90%、95%、99%のVaR(損害額)は表-1のように求められる。

表-1 $\bar{f}(\bar{x})$ の数値解から求められるVaR

| 信頼水準 (%) | 90 | 95 | 99 |
|-----------|-----|-----|-----|
| VaR (百億円) | 5.4 | 5.9 | 7.0 |

4. おわりに

本稿は、故障や事故、自然災害等のリスク事象が一定の平均頻度でランダムに発生し、そのリスク事象の発生に係る損害額が一定であるとみなされる場合に、当該損害額の現在価値を遠い将来まで足し合わせた総和に係るVaRを計算する方法を論じたものである。

VaRの計算のもとになる損害額の分布や主な統計量を計算する手順を簡潔に記述すると、以下のようになる。

手順A) 対象とするリスク事象について年平均発生確率と当該リスク事象が発生した場合の損害額を求める。リスク事象は複数の種類があってもよい。

手順B) リスク事象の平均発生頻度と損害額を(24)式に代入して数値積分を行うと、現在価値で表された損害額の総和についての確率分布が得られる。被積分関数の積分正弦関数、積分余弦関数の計算には、市販のソフトを利用する方法もあろう。

手順C) (24)式の数値積分から、任意の信頼水準に対応するVaRの値を求める。

手順D) 損害額について主な統計量を求めたい場合には、(27)式~(32)式を利用できる。

参考文献

- 1) 安藤美孝：ヒストリカル法によるバリュー・アット・リスクの計測：市場価格変動の非正常性への実務的対応，日本銀行金融研究所，2004.11.
- 2) IEC 60300-3-11：Dependability management – Part 3-11: Application guide – Reliability centred maintenance, Annex C, 2009.6.
- 3) 島崎 秀昭：定常ポアソン過程，<http://www.neuralengine.org/res/book/node4.html>.
- 4) 清水良一：中心極限定理，教育出版(2001)p.79.
- 5) 森口繁一，宇田川銈久，一松信：数学公式Ⅲ，岩波

- 全書, 岩波書店 (1975) p.22.
- 6) I.S.Gradshcheyn, I.M.Ryzhik : Table of Integrals Series, and Products, Seventh Edition, Elsevier Academic Press (2007) p.886, p.1046.
 - 7) Milton Abramowitz, Irene A. Stegun : Handbook of Mathematical Functions, Dover Publications, Inc. (1970) p.3, p.231, p.255.
 - 8) 7)と同じ, pp.232-233.
 - 9) Shanjie Zhang, Jianming Jin : Computation of Special Functions, John Wiley & Sons, Inc. (1996) pp.644-645.
 - 10) 神足史人 : Excel で操る! 科学技術計算, 丸善 (2009) pp.54-57.
 - 11) 9)と同じ, pp.647-651.
 - 12) 4)と同じ, pp.46-47
 - 13) 国土交通省 : 公共事業評価の費用便益分析に関する技術指針 (共通編) (2009) pp.5-6.

A CONSIDERATION ON HOW TO CALCULATE VALUE AT RISK CAUSED BY RANDOMLY GENERATED RISK EVENTS

Osamu FUJIKI

This paper deals with how to calculate the value at risk (VaR) caused by a series of risk events that are randomly generated following a stationary Poisson process and each of which results in a fixed amount of loss. Let x be the sum of net present values of losses caused by the risk events during the time period of $[0, \infty)$, then an exact solution for the probability density of x is derived analytically. An exact solution of the probability density for the mixture of different series of risk events following their own stationary Poisson processes and resulting in different fixed amount of losses is derived in the same way as well.

Four types of floods where their frequencies and resulting losses are known are utilized to derive an exact solution for VaR of sum total of net present values of losses. VaR is calculated at confidence levels of 90%, 95% and 99% by numerically calculating the exact solution.